

крізь
3
рас-
23—
933.—

чески-

with
Soc.,

in the

—Na-

-79.
огу.—

акцию

it

formed

lied by

stances

ode lo-

ed film.

teroge-

nt sta-

blished

the lung

n mass

УДК 612.202

В. А. Березовский, Е. А. Гойда, И. О. Мукалов, Б. С. Сушко

ЭКСПЕРИМЕНТАЛЬНОЕ ИССЛЕДОВАНИЕ РАСПРЕДЕЛЕНИЯ КИСЛОРОДА В ИКРИНКАХ ВЬЮНА

Концентрация кислорода в клетке животного поддерживается двумя основными механизмами — потреблением кислорода и доставкой его. При возрастании скорости потребления кислорода в клетку поступает большее его количество. Согласно диффузионной теории, это обусловлено увеличением концентрационного градиента в клетке, что приводит к увеличению его массопереноса. Установлено, что условия, обеспечивающие доставку кислорода, могут изменяться. Так, клетки и ткани живых организмов не являются гомогенными по отношению к транспорту кислорода, а представляют собой сложное, гетерогенное по составу и структуре образование. Поступление и распределение кислорода может во многом зависеть от проницаемости цитоплазматической мембранны кислороду, скорости массопереноса его внутри клеток.

Мы изучали распределение кислорода внутри икринок речного вьюна (*Misgurnus fossilis*), проницаемость оболочек потоку кислорода и массоперенос его внутри икринок.

Методика исследований

Распределение кислорода в икринках определяли полярографическим методом с помощью платиновых микроэлектродов диаметром кончика 3—5 μm [8]. Оценку проницаемости оболочек потоку кислорода и скорости массопереноса его внутри икринок осуществляли сравнением экспериментально регистрируемого профиля напряжения кислорода (P_{O_2}), создаваемого икринкой, с теоретическим профилем концентрации кислорода, рассчитанным по законам его диффузии [22].

Икру для опытов получали предварительной стимуляцией самок вьюна гонадотропином в расчете 120—140 ед. на одну самку. Оплодотворение икринок осуществлялось искусственно [3].

При попадании икринок в пресную воду от них отделяется желточная оболочка, образуя между желтком и цитоплазмой перивителлиновое пространство. В процессе дыхания икринки кислород поступает через ее внешнюю мукополисахаридную оболочку, затем проходит через однородное перивителлиновое пространство, и, наконец, через внутреннюю оболочку, включающую цитоплазматическую мембрану, поступает в цитоплазму, где происходит его потребление.

Отделившаяся оболочка вместе с перивителлиновым пространством ограничивает цитоплазму икринки от конвективных возмущений внешней среды, и в ходе экспериментов создаются условия диффузионного переноса кислорода внутрь цитоплазмы. Для измерений использовались как неоплодотворенные, так и оплодотворенные икринки. Диаметр их составлял в среднем 1,8 мм , при этом на цитоплазму приходилось 1,2 мм . В отличие от неоплодотворенных, оплодотворенные икринки имели более выраженное перивителлиновое пространство и практически не отличались размерами.

В опытах икринки располагались на крупноячеистой сетке (1×1 мм) внутри глубокой непроточной камеры с тонкой стеклянной боковой стенкой для оптического контроля. Камеру посредством агарового мостика соединяли с внешним хлорсеребряным референтным электродом. Рабочий платиновый микроэлектрод для определения P_{O_2} стереотаксически под микроскопическим контролем устанавливали в определенных точках над икринкой либо погружали в нее на необходимую глубину. Построение экспериментального профиля напряжения кислорода осуществляли в опытах по регистрируе-

мому диффузионному току (I_d), пропорциональному P_{O_2} в семи точках. Первой точке соответствовал I_d , измеренный на большом расстоянии от икринки, что соответствовало содержанию кислорода в среде. В дальнейшем диффузионный ток измеряли у поверхности икринки (вторая точка), непосредственно под внешней оболочкой при ее проколе (третья точка), в центре перивителлинового пространства (четвертая точка). В пятой точке I_d регистрировали над внутренней оболочкой и мембраной, отделяющей перивителлиновое пространство от цитоплазмы, в шестой — при проколе внутренней

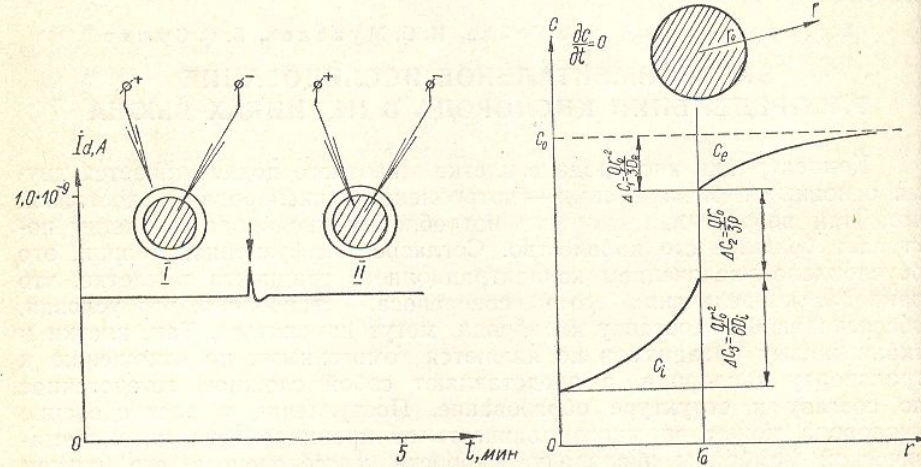


Рис. 1. Влияние положения референтного микроанода (+) на диффузионный ток кислорода (I_d) в икринке.

I — участок хроноамперограммы с внешним микроанодом; II — участок хроноамперограммы с внутренним микроанодом. Стрелкой обозначен момент помещения референтного электрода внутрь икринки.

Рис. 2. Теоретический профиль концентрации кислорода вне и внутри сферической клетки. По вертикали — концентрация кислорода, по горизонтали — расстояние от центра клетки. r_0 — радиус клетки.

оболочки, у ее поверхности, и I_d в центре икринки соответствовал седьмой точке. Измерения и хранение икринок проводили при температуре инкубационной среды (речная вода) 21—22° С.

Микроэлектроды для измерения кислорода стабилизировались по показаниям путем электрохимического и биологического состаривания [1]. Калибровку микроэлектродов проводили в двух пробах речной воды с известным содержанием кислорода. Измерение диффузионного тока осуществляли в хроноамперометрическом режиме при подаче на полярографическую ячейку напряжения 0,65 В. Диффузионный ток, пропорциональный напряжению кислорода, усиливался (усилитель типа OP-925, «Radelkis») и регистрировался на самопищущем потенциометре КСП-4. Чувствительность по току в зависимости от размеров активной поверхности рабочей части микроэлектрода составляла 10^{-11} — $10^{-10} \text{ A} \cdot \text{Torr}^{-1}$.

С целью минимальной травматизации клетки референтный электрод целесообразно помещать вне икринки. Для проверки правомочности такого методического приема мы использовали микроанод, который при желании располагался либо вне, либо внутри икринки. Референтный микроанод представлял собой стеклянную микропипетку, заполненную 2,8 М KCl, соединение которой с электрической цепью осуществлялось через хлорированную серебряную проволоку. Исследование показало (рис. 1), что при внутреклеточном измерении диффузионного тока кислорода, месторасположение референтного электрода (внутри или вне икринки) не оказывается на величине I_d . Объяснение этому, по-видимому, вытекает из большого сопротивления платинового микрокатода в измерительной цепи. При токе силой 10^{-9} A , который близок к максимальным значениям I_d , сопротивление рабочего электрода достигает 650 МОм.

Теоретический профиль концентрации кислорода для икринок выбирался на основании диффузионной теории транспорта кислорода при стационарных условиях диффузии [22]. Для сферической клетки радиусом r_0 , находящейся в неперемешиваемой среде с концентрацией кислорода c_0 , уравнения распределения концентрации кислорода

внутри клетки (c_i) и в растворе

$$c_i =$$

где r — расстояние от центра объема клетки ($q < 0$); D_i , P — коэффициент проницаемости и диффузии кислорода в среде;

Профиль концентрации P , q , D_i и соответственно c_i следует, что разности концентраций в точке среды и концентрации в центре клетки (Δc_2), и разность концентраций в центре клетки (Δc_3) равны

Зная коэффициент диффузии кислорода, используя систему уравнений для определения концентрации кислорода, проницаемость цианогена и диффузия кислорода внутри клетки при различной концентрации кислорода в растворе, можно определить концентрацию кислорода в клетке.

Диффузионный ток кислорода в сферической клетке непосредственно послеводу, уравновешенного давлением кислорода в растворе, определяется количеством кислорода в клетке. Через минуту после помещения икринки в раствор (давление $P = 150 \text{ Torr}$) напряжение на микроаноде, измеренное диффузионным током, было равно $0,65 \text{ В}$. Через 40—45 минут икринка стабилизировалась. Регистрация диффузионного тока I_d , производимая в течение 5 ч, не изменялась, что свидетельствует о том, что концентрация кислорода в клетке не меняется.

Результаты исследования показывают, что в икринках имеется симметричный профиль концентрации кислорода, что свидетельствует о том, что в икринках имеется симметричный профиль концентрации кислорода.

Приближение икринки к микроаноду не изменяет концентрацию кислорода в икринке, что свидетельствует о том, что в икринке имеется симметричный профиль концентрации кислорода.

и др.

внутри клетки (c_i) и в растворе над клеткой (c_e) имеют вид:

$$c_i = c_0 + \frac{qr_0}{3P} + \frac{q}{6D_i}(r_0^2 - r^2) + \frac{qr_0^2}{3D_e} \quad (1)$$

$$c_e = c_0 + \frac{qr_0^3}{3D_e} \frac{1}{r}, \quad (2)$$

где r — расстояние от центра клетки; q — скорость потребления кислорода единицей объема клетки ($q < 0$); D_i , D_e — коэффициенты диффузии кислорода внутри клетки и в среде; P — коэффициент проницаемости оболочки клетки.

Профиль концентрации кислорода с произвольно выбранными значениями величин P , q , D_e и D_i , соответствующий уравнениям (1) и (2), представлен на рис. 2, из которого следует, что разности концентраций кислорода между концентрацией в удаленной точке среды и концентрацией у поверхности клетки (Δc_1), по обе стороны от мембраны (Δc_2), и разность концентраций кислорода между внутренней поверхностью мембранны и центром клетки (Δc_3) равны соответственно:

$$\Delta c_1 = \frac{qr_0^2}{3D_e}, \quad (3)$$

$$\Delta c_2 = \frac{qr_0}{3P}, \quad (4)$$

$$\Delta c_3 = \frac{qr_0^2}{6D_i}. \quad (5)$$

Зная коэффициент диффузии кислорода в окружающей среде, радиус клетки и используя систему уравнений (3—5), мы можем определить скорость потребления кислорода, проницаемость цитоплазматической мембранны и коэффициент диффузии кислорода внутри клетки при экспериментально измеренных разностях концентраций кислорода Δc_1 , Δc_2 , Δc_3 .

Результаты исследований

Диффузионный ток в первой серии опытов измеряли у икринок непосредственно после попадания их из организма рыбы в речную воду, уравновешенную с воздухом. За счет более высокой концентрации кислорода в речной воде по отношению к внутренней среде рыбы количество кислорода внутри икринок некоторое время увеличивалось. Через минуту после пребывания икринки во внешней среде ($P_{O_2} = 150$ Torr) напряжение кислорода в ее центре, соответствующее измеряемому диффузионному току, не превышало 10—15 Torr. В дальнейшем P_{O_2} в икринке возрастало; через 5 мин P_{O_2} составляло уже 40—45 Torr и стабилизировалось через 15—20 мин после отделения желточной оболочки и образования перивителлинового пространства. Регистрация I_d , проведенная на оплодотворенных икринках в течение 5 ч развития, не обнаружила существенных различий в напряжении кислорода внутри икринки по отношению к неоплодотворенным.

Результаты исследований показали, что распределение P_{O_2} в икринках является симметричным относительно центра. Исключение составляла область цитоплазматического бугорка на уровне перивителлинового пространства из-за несимметричности этого участка.

Приближение микроэлектрода к поверхности икринки несколько уменьшило диффузионный ток, что соответствовало снижению напряжения кислорода на 5—6 Torr. Прокол электродом внешней оболочки икринки не сопровождался изменением I_d , то есть разность P_{O_2} на этом участке оказа-

лась пренебрежительно малой (менее 1 Торр). По мере дальнейшего углубления электрода происходило все более возрастающее снижение P_{O_2} , что свидетельствовало об увеличении градиента P_{O_2} с глубиной погружения. У поверхности внутренней оболочки и цитоплазматической мембранные напряжение кислорода было в среднем на 31 ± 2 Торр ниже, чем в окружающей среде. В области цитоплазматического бугорка этот перепад был на $1 - 2$

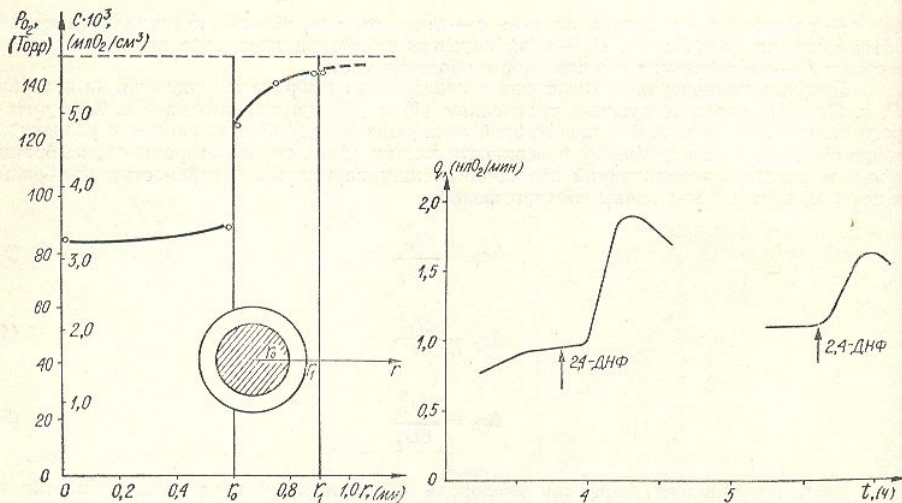


Рис. 3. Суммарный экспериментальный профиль напряжения (концентрации) кислорода икринки.

r_0 — расстояние от центра икринки до внутренней оболочки, r_1 — радиус икринки.

Рис. 4. График зависимости скорости потребления кислорода от времени развития икринки при стимуляции дыхания 2,4-ДНФ.

По вертикали — скорость потребления кислорода в расчете на одну икринку, по горизонтали — время развития. Стрелкой отмечен момент начала инкубации икринок в $10^{-4} M$ растворе 2,4-ДНФ.

Торр меньше. Наибольшая разность P_{O_2} была зафиксирована на внутренней оболочке, отделяющей цитоплазму и желток икринки от перивителлинового пространства. Средний перепад напряжения кислорода на ней составил 33 ± 5 Торр. Разность P_{O_2} внутри цитоплазмы (от внутренней поверхности оболочки до центра икринки) оказалась равной всего лишь 4 ± 2 Торр. Напряжение кислорода в центре икринки варьировало от 80 до 90 Торр, что при усреднении составило 85 ± 3 Торр. На рис. 3 представлен экспериментальный суммарный профиль P_{O_2} (концентрации кислорода) икринки в уравновешенной с воздухом среде.

При возрастании скорости потребления кислорода напряжение кислорода в измеряемых точках внутри и над поверхностью икринки снижалось. Для усиления интенсивности дыхания, после образования перивителлинового пространства, икринку помещали в среду, содержащую $10^{-4} M$ 2,4-ДНФ. На рис. 4 представлены зависимости скорости потребления кислорода от времени инкубации икринок в растворе 2,4-ДНФ и от времени их развития. Данные получены в прямых опытах по измерению интенсивности дыхания икринок в полярографической ячейке. Вначале скорость дыхания активируется, а после полувременной экспозиции икринок в 2,4-ДНФ начинает снижаться. В связи с этим для исследований были выбраны две группы икринок в период

первых часов развития под воздействием 2,4-ДНФ. В исследований.

С возрастанием склонность к окислению увеличивается. Через 15 мин P_{O_2} в центре икринок снизился с 85 ± 3 до 64 ± 5 и 17 ± 8 Торр. Напряжение кислорода остается постоянным, общим перепадом (разница напряжений между центром икринки и ее периферией) возрастает. Профили P_{O_2} после этих действий также изменяются (рис. 5). Достоверное снижение P_{O_2} у поверхности икринки (возле ее внешней оболочки) наблюдалось для икринок, обработанных 2,4-ДНФ в течение 30

Рис. 5. Суммарные профили напряжения (концентрации) кислорода икринки при 15 мин (а) и 30 мин (б) инкубации икринок в 2,4-ДНФ. Обозначения см. рис. 2.

Перепад напряжения кислорода в фазе инкубации скорости потребления кислорода в икринке. Это может говорить о том, что сопротивление потока кислорода икринок, наблюдается в цитоплазме.

Напряжение кислорода в фазе инкубации икринок в 2,4-ДНФ

Объект исследования	1
Интактные икринки	150 ± 1
Икринки в 2,4-ДНФ 15 мин	150 ± 1
Икринки в 2,4-ДНФ 30 мин	150 ± 1

Средние значения разности концентрационных перепадов напряжение кислорода между окружавшей икринку оболочкой ($\Delta P_{O_2}^1$) по мере

о углу-
 P_{O_2} , что
еня. У
апряже-
жающей
а 1—2

2,4-ДНФ

$t_{(n)}$
слорода

тия ик-
онтали —
2,4-ДНФ.

ренней
нового
ставил
хности
 $Torr.$
 $Torr.$,
экспе-
ники в

е кис-
и сни-
я пе-
режа-
росты
творе
опы-
фиче-
полу-
связи
период

первых часов развития, подвергшиеся соответственно 15 и 30 мин обработке 2,4-ДНФ. В табл. 1 приведены результаты этих исследований.

С возрастанием скорости потребления кислорода градиент P_{O_2} увеличивается. Через 15 и 30 мин от начала воздействия 2,4-ДНФ P_{O_2} в центре икринок снижаются и в среднем достигают соответственно 64 ± 5 и 17 ± 8 Torr. В связи с тем, что в окружающей среде напряжение кислорода остается постоянным, общий перепад P_{O_2} (разница напряжений кислорода между внешней средой и центром икринки) возрастает. Профили P_{O_2} после этих воздействий также изменяются (рис. 5). Достоверное уменьшение P_{O_2} у поверхности икринки (возле ее внешней оболочки) наблюдалось только для икринок, обработанных 2,4-ДНФ в течение 30 мин.

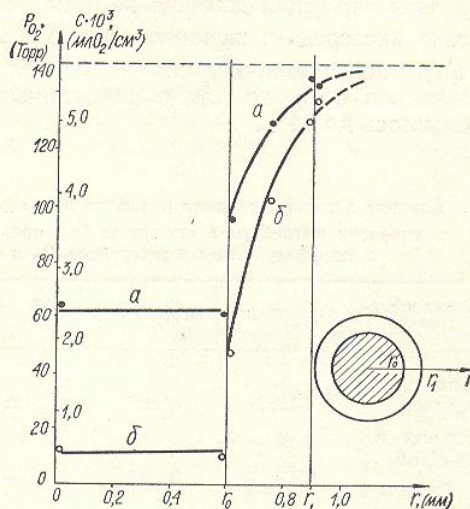


Рис. 5. Суммарные профили напряжения (концентрации) кислорода икринки при 15 мин (а) и 30 мин (б) инкубации икринок в 2,4-ДНФ.
Обозначения см. рис. 2.

Перепад напряжения кислорода на внешней оболочке при интенсификации скорости потребления кислорода оставался по-прежнему малым. Это может говорить о том, что внешняя оболочка не вносит существенного сопротивления потоку кислорода. Скачок P_{O_2} , как и у интактных икринок, наблюдается только на внутренней оболочке, прилегающей к цитоплазме.

Таблица 1

Напряжение кислорода в фиксированных точках измерения у интактных икринок выноса после 15 и 30 мин экспозиции их в $10^{-4} M$ растворе 2,4-ДНФ

Объект исследования	Точки измерений P_{O_2} (Torr)						
	1	2	3	4	5	6	7
Интактные икринки	150 ± 1	144 ± 1	144 ± 2	141 ± 2	125 ± 2	89 ± 2	85 ± 3
Икринки в 2,4-ДНФ 15 мин	150 ± 1	143 ± 1	145 ± 3	129 ± 5	95 ± 12	61 ± 9	64 ± 5
Икринки в 2,4-ДНФ 30 мин	150 ± 1	137 ± 1	129 ± 1	101 ± 7	47 ± 3	15 ± 7	17 ± 8

Средние значения разностей напряжения кислорода, соответствующие концентрационным перепадам его Δc_1 , Δc_2 , Δc_3 , приведены в табл. 2. Разность P_{O_2} между окружающей средой и поверхностным слоем внутренней оболочки ($\Delta P_{O_2}^1$) по мере увеличения срока пребывания икринок в 2,4-ДНФ

возрастала. На внутренней оболочке градиент напряжения кислорода при активации дыхания оставался без изменений, что выражалось в постоянности величины $\Delta P_{O_2}^2$ — разности P_{O_2} по обе стороны от внутренней оболочки. Внутри цитоплазмы перепад P_{O_2} в этих случаях не обнаруживался ($\Delta P_{O_2}^3 = 0$); напряжение кислорода во всей толще цитоплазмы практически одинаково.

При активации дыхания на фоне возрастания общего перепада напряжения кислорода в икринках доля $\Delta P_{O_2}^2$, приходящаяся на перепад P_{O_2} на внутренней оболочке, снижается. Если для интактных икринок она составила 54%, то для обработанных в течение 30 мин 2,4-ДНФ — снизилась до 24%.

Таблица 2

Средние значения величин разности напряжений кислорода ($\Delta P_{O_2}^1$, $\Delta P_{O_2}^2$, $\Delta P_{O_2}^3$),
скорости потребления кислорода (q), проницаемости внутренней оболочки (P)
и коэффициента массопереноса O_2 в цитоплазме для икринок выноса

Объект исследования	$\Delta P_{O_2}^1$ (Torr)	$\Delta P_{O_2}^2$ (Torr)	$\Delta P_{O_2}^3$ (Torr)	$q \cdot 10^6$ (мл $O_2/cm^2 \cdot c$)	$P \cdot 10^4$ ($cm \cdot c$)	$D_i \cdot 10^5$ (cm^2/c)
Интактные икринки	31±2	35±5	4±2	2,0±0,1	2,9±0,2	7,7±1,2
Икринки в 2,4-ДНФ 15 мин	55±18	34±9	—	3,5±1,2	5,4±0,3	—
Икринки в 2,4-ДНФ 30 мин	103±1	32±6	—	6,6±0,6	10,7±1,0	—

Примечание: $\Delta P_{O_2}^1$ — перепад напряжения кислорода в перивителлиновом пространстве; $\Delta P_{O_2}^2$ — на внутренней оболочке; $\Delta P_{O_2}^3$ — внутри цитоплазмы.

Принимая, что коэффициенты распределения кислорода в окружающей среде и икринке приблизительно равны, на основании разностей концентрации кислорода — Δc_1 , Δc_2 , Δc_3 мы рассчитали скорости потребления кислорода единицей объема цитоплазмы (q), коэффициенты проницаемости к кислороду со стороны внутренней оболочки (P) и коэффициенты диффузии кислорода внутри цитоплазмы (D_i) по формулам (3—5). В табл. 2 приведены значения полученных величин.

При увеличении сроков обработки икринок 2,4-ДНФ скорость потребления кислорода, рассчитанная на основании диффузационной теории, возрастала. Расчетная величина q оказалась близкой к данным, полученным в прямых опытах по измерению скорости дыхания икринок в полярографической ячейке.

Коэффициент проницаемости внутренней оболочки для кислорода у интактных икринок был относительно низким, его средняя величина составляла $(2,9 \pm 0,2) \cdot 10^{-4} cm \cdot c^{-1}$. При усиливении дыхания в 3,3 раза проницаемость внутренней оболочки к кислороду увеличилась в 3,7 раза. Расчет коэффициента диффузии кислорода в цитоплазме интактных икринок показал, что D_i гораздо выше коэффициента его диффузии в водном растворе при аналогичной температуре. Средняя величина для интактных икринок составляла $(7,7 \pm 1,2) \cdot 10^{-5} cm^2 \cdot c^{-1}$. Из-за отсутствия концентрационного градиента кислорода рассчитать ко-

эффициент его диффузии в дыхания оказалось невозможным.

На основании измерений в икринках удалось установить, что участках икринки отличаются сферическом гомогенном тканевом оболочке икринки, чении потока кислорода, же время значительный перепад на внутренней оболочке и цитоплазме. Полученный коэффициент P_{O_2} не соответствует диффузационной теории переваривания и неподвижной среды.

Обсуждение

В настоящее время известен лишь один путь транспорта кислорода. Существуют теории облегченного и пассивного транспорта кислорода [18, 20], косвенные доказательства которых противоположны. Считают, что клеточная мембрана кислороду по отношению к мембранным и теоретически го диффузионного сопротивления.

Результаты проведенных исследований показывают, что в икринке слоя цитоплазматического пространства кислородом в этом слое внешняя оболочка кислорода на этих участках, а перепад P_{O_2} в слое цитоплазмы. Согласно теории, это должно вызывать сопротивление проникновения кислорода в цитоплазматической мембране. Внешний обмен кислорода происходит только диффузионным путем, сопротивление на внутренней оболочке P_{O_2} регистрировалось в виде перепада P_{O_2} внутри цитоплазмы.

Высокий перепад P_{O_2} также при интенсивном дыхании, при отсутствии существенного переноса кислорода со стороны оболочек и наружу, было показано, что нарушает явление циклического движения. Из этого можно заключить, что на внутренней оболочке и цитоплазме кислородом проникает в цитоплазму, а из цитоплазмы выходит обратно.

при
нос-
очки.
вася
чески
апря-
о, на
она
Ф —
а 2
,

$\cdot 10^5$
 m^2/c

7±1,2

анстве;

руж-
ностей
ти по-
денты
(P) и
о фор-
ин.
стъ по-
й тео-
анным,
икри-

лорода
личина
.3 раза
, в 3,7
нитакт-
о диф-
ния ве-
с¹. Из-
ать ко-

эффективность его диффузии в цитоплазме икринок с повышенным уровнем дыхания оказалось невозможным.

На основании измеренного в экспериментах профиля P_{O_2} в икринках удалось установить, что распределение кислорода в различных участках икринки отличается от его диффузионного распределения в сферическом гомогенном теле («идеальной клетке»). Градиент P_{O_2} на внешней оболочке икринки практически отсутствует даже при увеличении потока кислорода, обусловленного активацией дыхания. В то же время значительный перепад P_{O_2} оказался сосредоточенным на внутренней оболочке и цитоплазматической мемbrane, прилегающих к цитоплазме. Полученный на реальных икринках профиль распределения P_{O_2} не соответствует теоретически ожидаемому, вытекающему из диффузионной теории перемещения молекул кислорода в гомогенной и неподвижной среде.

Обсуждение результатов исследований

В настоящее время известно, что в живых системах диффузионный путь транспорта кислорода не является единственным возможным. Существуют теории облегченной диффузии кислорода, основанные на пассивном транспорте его посредством различных переносчиков [16, 18, 20], косвенные доказательства конвективного переноса кислорода в цитоплазме крупных клеток [5, 6, 19]. В отношении роли оболочек и цитоплазматической мембраны в транспорте кислорода в клетку высказываются противоположные взгляды. Некоторые исследователи считают, что клеточная мембрана не является существенным барьером кислороду по отношению к водной среде [13, 14]. Другие — экспериментально и теоретически доказывают наличие на мембране большого диффузионного сопротивления молекулам кислорода [4, 10, 11].

Результаты проведенных нами исследований показывают, что в прилежащих к икринке слоях водной среды и внутри первичеллинового пространства кислород транспортируется диффузионным путем. При этом внешняя оболочка не оказывает влияния на распределение кислорода на этих участках. На внутренней же оболочке наблюдается резкий перепад P_{O_2} . Согласно диффузионной теории, такое распределение должно вызываться тем, что на участке внешней оболочки отсутствует сопротивление потоку кислорода, а на внутренней оболочке и цитоплазматической мембране создаются условия затрудненного прохождения молекул кислорода по сравнению с водной средой. При наличии только диффузионного переноса кислорода и отсутствии сопротивления на внутренней оболочке икринки, вместо значительного перепада P_{O_2} регистрировалось бы лишь увеличение градиента напряжения кислорода внутри цитоплазмы (в результате потребления кислорода).

Высокий перепад P_{O_2} на внутренней оболочке может возникать также при интенсивном перемешивании содержимого клетки, даже при отсутствии существенного диффузионного сопротивления кислороду со стороны оболочек и цитоплазматической мембраны клетки. Экспериментально показано, что цитоплазма многих крупных клеток обнаруживает явление циклозиса — состояния непрерывного интенсивного движения. Из этого следует, что наличие высокого градиента P_{O_2} на внутренней оболочке икринки может быть результатом как сопротивления оболочки потоку кислорода, так и активного перемещения цитоплазмы.

Значительная разность P_{O_2} на внутренней оболочке икринки и низкие значения градиента P_{O_2} в цитоплазме, присущи не только исследуемому объекту. Так, в водной среде, уравновешенной с воздухом атмосферы ($P_{O_2} = 150$ Torr), на оболочке яиц морского ежа (*Echinorachis mirabilis*) перепад напряжения кислорода составил 70—80 Torr [10] а на оболочке куриных ооцитов он достиг значений более 140 Torr [9]. Перепад P_{O_2} на мемbrane мышечных клеток теплокровного животного в зависимости от P_{O_2} межклеточной среды составлял 50 и более Torr [23].

Расчет, основанный на диффузационной теории, показал, что проницаемость внутренней оболочки для кислорода достаточно низкая; коэффициент проницаемости не превышает $3 \cdot 10^{-4} \text{ см} \cdot \text{с}^{-1}$ для нативных икринок. В литературе есть данные о наличии существенного барьера кислороду со стороны цитоплазматической мембраны клеток. Такие исследователи оценивают коэффициент диффузии кислорода в цитоплазматической мембране в 10^{-10} — $10^{-11} \text{ см}^2 \cdot \text{с}^{-1}$ [4, 6].

При рассмотрении диффузии газов через различные тонкие органические пленки, было показано, что проницаемость пленок во многом зависит от структуры их материала. Чем более упорядочены молекулы и чем длиннее их цепи, тем менее проницаемы они для газов [7]. Существование гораздо большего препятствия кислороду со стороны цитоплазматических мембран клеток придается определенный физиологический смысл. Благодаря гетерогенности проницаемости в живой ткани к кислороду, молекулы его могут более равномерно доходить до близлежащих и удаленных от капилляров клеток [17]. Существует также теория, согласно которой порядок реакции потребления кислорода тканью является функцией проницаемости клеточных мембран кислороду [11]. Известные в настоящее время значения коэффициентов диффузии кислорода в различных тканях, характеризующие скорее суммарный коэффициент для всей толщи ткани без учета ее гетерогенности, отличаются большим разбросом — от 10^{-4} до $10^{-8} \text{ см}^2 \times \text{с}^{-1}$ [21].

Определенный интерес представляют результаты исследований D_{O_2} , проведенные на тенях эритроцитов и искусственных мембранах [14]. Применяя оптический метод, основанный на гашении флуоресценции пирена кислородом, авторы приходят к выводу об отсутствии препятствия кислороду со стороны мембран. На наш взгляд, одним из недостатков этих экспериментов является то, что молекулам кислорода достаточно войти в фосфолипидную мембрану, чтобы вызвать гашение флуоресценции. В то же время, переход кислорода из слоя фосфолипидов, где он лучше растворяется, в раствор может быть затруднен [2].

Регистрируемую на внутренней оболочке икринки значительную разность P_{O_2} можно попытаться объяснить и с несколько других позиций. Прежде всего, исходя из предположения о неодинаковом коэффициенте абсорбции кислорода в различных точках измерения. Однако большой перепад P_{O_2} трудно отнести за счет различного распределения кислорода внутри и вне клетки. Известно, что липидные элементы клетки растворяют кислород в несколько раз лучше, чем вода [12], но их количество ничтожно — вода составляет около 80% веса клетки. Резкое уменьшение диффузационного тока на внутренней оболочке икринки может возникать и за счет увеличения омического сопротивления в полярографической цепи, вносимого самой мембраной. Для проверки этого предположения в специальных опытах применяли референтный микроэлектрод, который помещали внутрь икринки. Переме-

щение такого микроанодияло величину диффузии

Расчеты, основанные на только путем дциента проницаемости проницаемости кислорода. Практически, при усиле на внутренней оболочке увеличению проницаемыми курицы также бы лочки. Причем, проницания уменьшалась при кислорода цианидом [9]. изменению проницаемо роятно, что проницаем ниями диффузационной цитоплазмы на фоне лорода.

Незначительный повышение, приводит к мырез внутреннюю оболо ринки. Расчетный коэрик 7,7 · 10⁻⁵ см² · с⁻¹ 2,4-ДНФ стремится к периментах по изуче щины и на основании казано, что D_{O_2} в тк чем в воде. В связи с нии «активного внут ривного переноса кис поздних работах ими сти пассивного опосре ках [15, 20].

Результаты нашли, что распределение кислорода гораздо более высокий коэффициент диффузии циклозиса следуя и гидродинамической коэффициент диффузии «коэффициент этому термину, по-видимому, кислорода в клетках конвективным переносом облегченной диффузии

1. Прямыми между внешней, уравнением сферической 65 Torr, который пребывает в воде.

2. На внешней оболочке яиц.

3. Основной перепад

изменение такого микроанода за внутреннюю оболочку икринки не изменило величину диффузионного тока.

Расчеты, основанные на предположении о том, что кислород перемещается только путем диффузии, указывают на изменчивость коэффициента проницаемости внутренней оболочки кислороду. Коэффициент проницаемости кислорода возрастает при стимуляции дыхания икринки. Практически, при усилении дыхания более чем в три раза перепад P_{O_2} на внутренней оболочке оставался без изменений, что эквивалентно увеличению проницаемости оболочки к кислороду. В опытах с ооцитами курицы также было обнаружено изменение величины P для оболочками. Причем, проницаемость для входящего в клетку потока кислорода уменьшалась при частичном подавлении скорости потребления кислорода цианидом [9]. В настоящее время причины, приводящие к изменению проницаемости клеточных оболочек, назвать не просто. Вероятно, что проницаемость к кислороду может быть сопряжена с изменениями диффузионного сопротивления оболочек, скорости движения цитоплазмы на фоне изменяющейся интенсивности потребления кислорода.

Незначительный перепад P_{O_2} , обнаруженный в цитоплазме икринок выноса, приводит к мысли о том, что кислород, продиффундировав через внутреннюю оболочку, очень быстро транспортируется внутри икринки. Расчетный коэффициент диффузии достигает у интактных икринок $7,7 \cdot 10^{-5} \text{ см}^2 \cdot \text{с}^{-1}$, а в отдельных случаях и при воздействии 2,4-ДНФ стремится к гораздо большим величинам. В известных экспериментах по изучению дыхания тканевых кусочков различной толщины и на основании измерений величин критического P_{O_2} было показано, что D_{O_2} в ткани печени, миокарда, почки в 3–7 раз выше, чем в воде. В связи с этим авторы высказали гипотезу о существовании «активного внутриклеточного транспорта кислорода» — конвективного переноса кислорода движущейся цитоплазмой [19], а в более поздних работах ими был представлен ряд доказательств возможности пассивного опосредованного транспорта кислорода в ткани и клетках [15, 20].

Результаты наших опытов также подтверждают то обстоятельство, что распределение кислорода в цитоплазме икринок выноса происходит гораздо быстрее, чем в водной неперемешиваемой среде. Высокий коэффициент диффузии кислорода внутри клеток с учетом явления циклозиса следует рассматривать как комбинацию диффузионного и гидродинамического переноса кислорода. В таком случае понятие «коэффициент диффузии кислорода» целесообразно заменить понятием «коэффициент переноса кислорода». Величина, соответствующая этому термину, по-видимому, наиболее полно характеризует транспорт кислорода в клетках и живой ткани, где, наряду с диффузионным и конвективным переносом, возможно и распределение кислорода по типу облегченной диффузии.

Выводы

1. Прямыми полярографическими измерениями показано, что между внешней, уравновешенной с воздухом, средой и центральным участком сферической икринки выноса существует перепад P_{O_2} около 65 Торр, который при стимуляции дыхания 2,4-ДНФ возрастает до 130 и более Торр.

2. На внешней оболочке перепад P_{O_2} не регистрируется.

3. Основной перепад напряжения кислорода (54%) происходит на

внутренней оболочке икринки, которая, по-видимому, является диффузионным барьером для молекул кислорода. При стимуляции дыхания 2,4-ДНФ перепад P_{O_2} на внутренней оболочке не изменяется.

4. Коэффициент проницаемости внутренней оболочки интактных икринок для кислорода, рассчитанный исходя из теории диффузии, оказался равным $(2,9 \pm 0,2) \cdot 10^{-4} \text{ см} \cdot \text{с}^{-1}$ и возрастал по мере увеличения скорости потребления кислорода икринками при стимуляции дыхания 2,4-ДНФ.

5. В различных участках цитоплазмы икринки напряжение кислорода практически одинаково.

6. Более высокие значения D_{O_2} в цитоплазме икринки по сравнению с D_{O_2} в воде могут быть следствием комбинации диффузионного и гидродинамического переноса кислорода.

Л и т е р а т у р а

1. Березовский В. А. Электрохимические и биологические особенности хроноамперометрического определения кислорода в биологических объектах.—В кн. Полярографическое определение кислорода в биологических объектах. Киев : Наукова думка, 1968. с. 98—122.
2. Березовський В. Я., Горчаков В. Ю., Сушко Б. С. Кінетика транспорту кисню крізь осадові фосфоліпідні плівки.—Фізіол. журн. АН УРСР, 1977, 23, № 5. с. 641—644.
3. Детлаф Т. А. (отв. ред.). Объекты биологии развития. М.: Наука, 1975.—579 с.
4. Динкевич Ф. Э. Исследование электрохимических свойств переносчиков кислорода. Автореф. дис. ... канд. хим. наук.—Днепропетровск, 1973.—29 с.
5. Камия М. Движение протоплазмы.—М.: ИЛ, 1962. 306 с.
6. Коваленко Е. А., Березовский В. А., Эпштейн И. М. Полярографическое определение кислорода в организме.—М.: Медицина, 1975.—232 с.
7. Рейтлингер С. А. Проницаемость полимерных материалов.—М.: Химия, 1974.—269 с.
8. Сушко Б. С. К методике изготовления открытых платиновых микрозлектродов для хроноамперометрического определения напряжения кислорода в клетках и тканях.—В кн.: Полярографическое определение кислорода в биологических объектах. Киев : Наукова думка, 1972, с. 108—109.
9. Сушко Б. С. Особенности транспорта кислорода через оболочку ооцита : Автореф дис. ... канд. биол. наук.—Киев, 1976.—24 с.
10. Сушко Б. С. Порівняльна оцінка проникності оболонки, цитоплазматичної мембрани та цитоплазми яєць морського їжака до кисню.—В кн.: Х з'їзд Респ. фізіол. т-ва Одеса, 1977, с. 313.
11. Эпштейн И. М. Роль барьера функции плазматической мембранны в механизме регулирования тканевого дыхания.—В кн.: Биологические мембранны в норме и патологии. М., 1972, с. 69—70.
12. Battiro R., Evans F. D., Donforth W. F. The solubilities of seven gases in olive oil with reference to theories of transport through the cell membrane.—J. Amer. Chem. Soc. 1968, 45, p. 830—833.
13. Chang B. H., Fleirthman M., Miller C. E. Oxygen mass transfer rates in intact red blood cells.—In: Intern. symp. on Oxygen Transport to Tissues. South Carolina USA 1973, p. 24.
14. Fischhoff S., Vanderkooi J. M. Oxygen diffusion in biological and artificial membranes determined by the fluorochrome pyrene.—J. Gen. Physiol., 1975, 67, p. 663—676.
15. Gold H. J. Kinetics of facilitated diffusion of oxygen in tissue slices.—J. Theor. Biol. 1969, 23, p. 455—462.
16. Gurtner G., Burns B. Physiological evidence consistent with the presence of a specific O_2 carrier in the placenta.—J. Appl. Physiol., 1975, 39, N 5, p. 728—734.
17. Hills B. A. Respiration of tissues in a medium of heterogeneous permeability.—Bull. Math. Biophys., 1970, 32, N 2, p. 219—235.
18. Kreuzer F. Theoretical and experimental aspects of oxygen transport in blood and muscle.—In: Biophys. of Membrane Transport. School proceedings, part 1. Wroclaw, 1976. p. 41—89.
19. Longmuir J. S., Bourke A. The measurement of the diffusion of oxygen through respiring tissue.—Biochem. J., 1960, 76, p. 225—229.
20. Longmuir J. S., Stella Sun, Soucie W. Possible role of cytochrome P-450 as a tissue oxygen carrier.—In: Oxydases and related redox systems. Baltimore, 1973, 2, p. 451—461.

21. McDongall, Cabe M. Diffusion in the egg of *Misgurnus fossilis*.—J. Physiol. 1955, 117, N. 9, p. 1173—1178.
22. Rashevsky N. Mathematical Biophysics. Chicago: The University of Chicago Press, 1945.
23. Whalen W. J., Nair P. In: Physiology of the Guinea Pig. Circulation and Respiration. New York: Academic Press, 1962.

Отдел физиологии

Институт физиологии им. А. А. Богомольца

АН УССР, Киев

V. A. Berezovskiy
EXPERIMENTAL STUDY OF OXYGEN TRANSFER IN THE EGG OF *MISGURNUS FOSSILIS*

The values of membrane inside the *Misgurnus fossilis* egg. The results of studies at different stages of development of oxygen pressure (P_{O_2}) across the membrane calculated by the laws of diffusion; the outer membrane adjoining the egg and inner internal membrane adjoining the cytoplasm sharply. The changes in the distribution of oxygen across the membrane are sharp. The effect of diffusion barrier on the dynamic transfer inside the egg.

Department of Physiology of the Institute of A. A. Bogomol'tz Institute of Academy of Sciences, Ukrainian SSR

21. McDongall, Cabe M. Diffusion coefficient of oxygen through tissues.—Nature, 1967, 215, N. 9, p. 1173—1178.
 22. Rashevsky N. Mathematical biophysics. Physicomathematical foundations of biology.—Chicago: The University of Chicago press,—1938.—340 p.
 23. Whalen W. J., Nair P. Intracellular P_{O_2} and its regulation in resting skeletal of the guinea pig.—Circulation Res., 1967, 21, p. 251—261.

Отдел физиологии дыхания
Институт физиологии им. А. А. Богомольца
АН УССР, Киев

Поступила в редакцию
27.XII 1977 г.

V. A. Berezovsky, E. A. Goida, I. O. Mukalov, B. S. Sushko

EXPERIMENTAL STUDY OF OXYGEN DISTRIBUTION
IN MISGURNUS FOSSILIS EGGS

Summary

The values of membrane permeability to the oxygen flow and rate of O_2 mass transfer inside the *Misgurnus fossilis* eggs are evaluated at different levels of oxygen uptake intensity. The results of studies are obtained by comparing the experimentally recorded profile of oxygen pressure (P_{O_2}) created by an egg with the theoretical profile of O_2 concentration calculated by the laws of oxygen diffusion. It is shown that in the aqueous medium layer adjoining the egg and inside the perivitelline cell space oxygen is transported by means of diffusion; the outer membrane has no effect on O_2 distribution. However beyond the internal membrane adjoining directly the yolk and cytoplasm of the egg the picture of O_2 distribution changes sharply. On the internal membrane a sharp overall of P_{O_2} takes place and in the cytoplasm the P_{O_2} gradient approaches 0. A problem concerning the existence of diffusion barrier on the egg internal membrane and on the possibility of O_2 hydrodynamic transfer inside the cell under study is discussed.

Department of Physiology of Respiration,
A. A. Bogomoletz Institute of Physiology,
Academy of Sciences, Ukrainian SSR, Kiev